Synthèse géologique de la région de rivière Octave, Abitibi, Québec, Canada

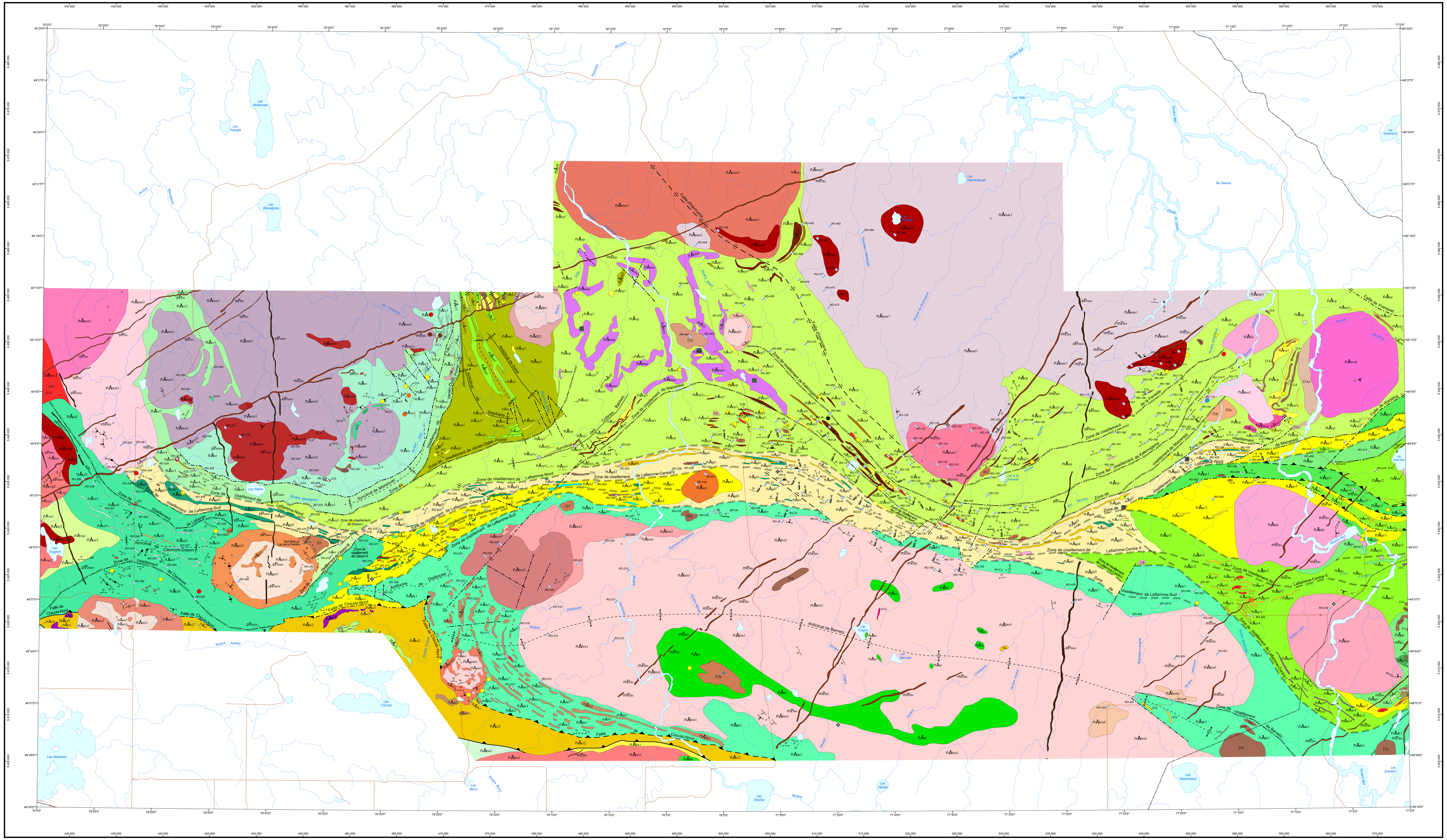

LÉGENDE STRATIGRAPHIQUE

PROVINCE DU SUPÉRIEUR

MÉSOPROTÉROZOÏQUE

Dykes de l'Abitibi (1140,6 ±2 Ma, Krogh *et al.*, 1987)

- mPabi — Gabbro à olivine

PALÉOPROTÉROZOÏQUE

Dykes de Biscotasing (2174 à 2166,7 ±1,4 Ma, Buchan *et al.*, 1993; 2167 Ma, Halls et Davis, 2004)

- pPbis — Gabbronorite à quartz

Essaim de dykes de Matachewan (2473 à 2446 Ma, Heaman, 1997)

- pPmaw — Gabbro, gabbro à quartz, gabbro porphyrique à phénocristaux de plagioclase

SOUS-PROVINCE DE L'ABITIBI

NÉOARCHÉEN

Pluton de Wedding

- nAwed — Granite à biotite, localement porphyroïde à phénocristaux de feldspath potassique, monzonite quartzifère

Stock de Laflamme

- nAfla — Granite massif à hornblende

Pluton de Rapide-des-Cèdres

- nArdc — Granite à biotite

Pluton du Lac de la Perdrix

- nAper2 — Monzodiorite et monzonite à biotite-hornblende-clinopyroxène et rare orthopyroxène
- nAper1 — Monzonite quartzifère, monzodiorite quartzifère à biotite-hornblende, localement à phénocristaux de feldspath alcalin, enclaves de roche mafique et de paragneiss

Pluton de Gémini-Saint-Éloi

- nAgem2 — Syénite à augite-aegyrine-hornblende, monzonite à augite-biotite et rare hornblende
- nAgem1 — Granitoïde

Stock de Dalet

- nAdlt2 — Diorite, granodiorite et granite
- nAdlt1 — Granite, syénite, tonalite et trondhjémite

Stock de Kamadjideweckode

- nAkad2 — Monzodiorite quartzifère à biotite
- nAkad1 — Granite

Pluton de Coigny

- nAcoi — Diorite et monzodiorite à hornblende

Pluton de Nissing-Oditan (<2698 Ma)

- nAnis2 — Monzonite et monzodiorite à hornblende-biotite-clinopyroxène
- nAnis1 — Monzonite quartzifère et granite à hornblende-biotite, localement à phénocristaux de feldspath potassique et, plus rarement, de plagioclase

Pluton de Lequev

- nAleq — Monzonite quartzifère porphyrique

Pluton de Strangway

- nAstw — Granite à hornblende-biotite, enclaves de roche mafique

Intrusion de Bernetz (<2695 Ma, Rhéaume *et al.*, 2010)

- nAbrn4 — Diorite et diorite quartzifère
- nAbrn3 — Granodiorite foliée à gneissique à biotite-hornblende
- nAbrn2 — Granodiorite et granite porphyroïde à phénocristaux de quartz et de feldspath potassique et à hornblende
- nAbrn1 — Granodiorite, tonalite et gneiss tonalitique, à biotite

Groupe de Chicobi (<2698 ±2,4 Ma, Ayer *et al.*, 2002; <2696 ±3 Ma, Barrett *et al.*, 2013)

- nAci3 — Formation de fer indéterminée à graphite, chert, formation de fer à oxydes, interstratifiée avec des wackes quartzitiques
- nAci2 — Wacke et mudrock graphiteux parfois interstratifiés avec des tufs et des formations de fer
- nAci1 — Andésite, tuf intermédiaire et felsique, rhyolite, volcanite mafique à graphite

Formation de Glandelet (<2695 Ma, Rhéaume *et al.*, 2010)

- nAgd4 — Wacke, mudrock, formation de fer et exhalite
- nAgd3 — Wacke et mudrock
- nAgd1 — Roches volcaniques intermédiaires à mafiques et roches volcanoclastiques felsiques et intermédiaires

Pluton de Rousseau (2703 ±2 Ma, Davis *et al.*, 1993; 2703 +3/-2 Ma, Davis *et al.*, 2000)

- nArss — Trondhjémite et tonalite rubanées et foliées

Suite intrusive de Marest (2705 ±1 Ma, Rhéaume *et al.*, 2010)

- nAmar4 — Diorite et diorite quartzifère à hornblende-biotite, localement à phénocristaux de plagioclase
- nAmar3 — Granite ou granodiorite
- nAmar2 — Granodiorite à biotite à enclaves d'amphibolite
- nAmar1 — Granodiorite à biotite-titanite et tonalite massive à biotite-titanite ± hornblende

Pluton de Boivin (2714 +2/-1 Ma, 2713 ±3 Ma, Davis *et al.*,1993; 2713 ±2 Ma, Davis *et al.*, 2000)

- nAbov2 — Granite, diorite et enclaves de volcanite

Pluton de Val-St-Gilles (2716 ±3 Ma, David *et al.*, 2011)

- nAvsg2 — Trondhjémite à biotite, tonalite à biotite, tonalite à enclaves de rhyolite et tonalite granophyrique
- nAvsg1 — Diorite

Formation de Miniac

- nAni — Volcanite mafique à intermédiaire et tuf à cendres

Formation de Clermont-Disson

- nAcd — Volcanite mafique et intermédiaire, tuf felsique et alternance de wacke et mudrock
- nAcd5 — Basalte, andésite, tuf indifférencié, wacke et mudrock, formation de fer
- nAcd4 — Wacke et mudrock
- nAcd1 — Basalte, andésite et tuf indifférencié

Formation de Desboues

- nAde2 — Gabbro
- nAde1 — Basalte et andésite

Groupe de Béarn

- nAbn — Basalte
- nAbn2 — Basalte, basalte andésitique ou andésite basaltique, coussinés, tuf intermédiaire et mafique
- nAbn1 — Rhyolite, tuf felsique, tuf indifférencié et andésite

Groupe de Quévillon (2718,2 ±2,1 Ma, Davis *et al.*, 2005; 2716,4 ±1,1 Ma, David *et al.*, 2007)

- nAqv — Volcanite mafique, amphibolite, andésite et rhyolite, filons-couches de gabbro et/ou de diorite
- nAqv8 — Formation de fer indéterminée
- nAqv7 — Tuf felsique à lapillis, à blocs ou à cendres; quelques niveaux de rhyolite, dacite
- nAqv5 — Tuf felsique à cristaux et rhyolite
- nAqv4 — Wacke arkosique à lithique, localement rubané, alternance de wacke et mudrock
- nAqv3 — Volcanite felsique, rhyolite et dacite, tuf rhyolitique
- nAqv2 — Andésite
- nAqv1 — Basalte
- nAqv1b — Amphibolite basaltique rubanée à grenat-épidote, faiblement migmatitisée par endroits

Pluton de Berry

- nAbrr1 — Granite et granodiorite

Pluton de Beehler

- nAbee2 — Monzonite, granodiorite, syénite à hornblende et phénocristaux de feldspath alcalin; enclaves d'amphibolite
- nAbee1 — Granite à biotite porphyroïde avec phénocristaux de feldspath potassique, granodiorite, tonalite

Intrusions de Maizerest

- nAmaz — Péridotite, serpentinite, dunite, pyroxénite, coulée mafique et ultramafique

Groupe de Vanier-Dalet-Poirier (2722 ±1 Ma, Gaboury et Daigneault, 1999; 2722 ±2 Ma, Rhéaume *et al.*, 2010)

- nAvp — Ensemble de laves intermédiaires et mafiques, massives, coussinées, bréchiques, vésiculaires et localement porphyriques à phénocristaux de plagioclase
- nAvp7 — Gabbro
- nAvp5 — Wacke, mudrock, chert et formation de fer
- nAvp4 — Wacke, conglomérat et mudrock
- nAvp3 — Tuf felsique et indifférencié, brèche volcanoclastique felsique et indifférenciée, quelques brèches de coulée basaltique
- nAvp2 — Tuf intermédiaire à lapillis et à blocs, localement turbiditique, cherteux, brèche de coulée andésitique, brèche volcanoclastique indifférenciée, niveaux d'andésite coussinée et de dacite massive
- nAvp1 — Basalte et andésite, massifs, coussinés, bréchiques ou porphyriques, amphibolite de basalte ou d'andésite, niveaux de tuf et volcanite indifférenciés, brèche volcanoclastique indifférenciée

Pluton de Mistaouac (2727 ±9 à 2724 ±4 Ma, Davis *et al.*, 1993; 2726 ±2 Ma, Davis *et al.*, 2000)

- nAmst4 — Diorite et diorite quartzifère à amphibole
- nAmst3 — Granite et granodiorite porphyroïdes à hornblende, biotite et phénocristaux de feldspath potassique
- nAmst2 — Granite à biotite, enclaves d'amphibolite
- nAmst1 — Tonalite à biotite ± amphibole, enclaves d'amphibolite

Formation de la Rivière Octave (2726,3 ±2,4 Ma, Deschênes *et al.*, 2014)

- nAro3 — Wacke et claystone
- nAro2 — Basalte, andésite, volcanite mafique et intermédiaire
- nAro1 — Rhyolite, rhyodacite, dacite, tuf felsique et intermédiaire

Formation de Normétal (2728 +3/-2 Ma, Mortensen, 1993; 2722 ±3 Ma, Zhang *et al.*, 1993)

- nAno2 — Interstratification d'andésite, de dacite et de rhyolite

Formation de Valrennes (<2728 ±0,9 Ma, Legault *et al.*, 2002)

- nAvr — Basalte, amphibolite, volcanite mafique et intermédiaire, rhyolite et tuf felsique
- nAvr5 — Tuf felsique, tuf felsique cherteux et tuf felsique chloritisé
- nAvr4 — Andésite coussinée et en coulée massive
- nAvr3 — Mudrock, localement grès quartzitique
- nAvr2 — Tuf intermédiaire à lapillis et andésite massive
- nAvr1 — Basalte coussiné et massif et basalte bréchifié et cisaillé

LÉGENDE LITHOLOGIQUE

NÉOARCHÉEN

- I1 — Intrusion felsique
- I1B — Granite
- I1c — Intrusion felsique à intermédiaire
- I1C — Granodiorite
- I1Ca — Granodiorite à diorite
- I1d — Intrusion felsique à dioritique
- I1Fa — Aplite et pegmatite
- I2 — Intrusion intermédiaire
- I2J — Diorite
- I2Jb — Diorite à magnétite
- I2Jc — Diorite et amphibolite
- I2Je — Diorite et gabbro
- I3A — Gabbro métamorphisé, fortement folié. Rares niveaux métriques porphyriques
- I3Ad — Gabbro et péridotite bréchique
- I3Ae — Ensemble de gabbro, amphibolite et hornblendite
- I4 — Intrusion ultramafique
- M16 — Amphibolite
- S3a — Alternance de wacke et de mudrock
- Sa — Ensemble de sédiments clastiques variés, d'intrusion et de volcanite mafique
- V4 — Volcanite ultramafique

INDICE ET GÎTE

- Argent, cuivre, éléments des terres rares
- Éléments du groupe du platine, molybdène, nickel
- Or, or (mine fermée), zinc
- Chrysotile (amiante)
- Graphite
- RO-166 Forage sonique
- Site d'une datation isotopique

Les symboles et abréviations utilisés sur cette carte sont décrits dans la publication DV 2014-06 du ministère de l'Énergie et des Ressources naturelles.

Localisation

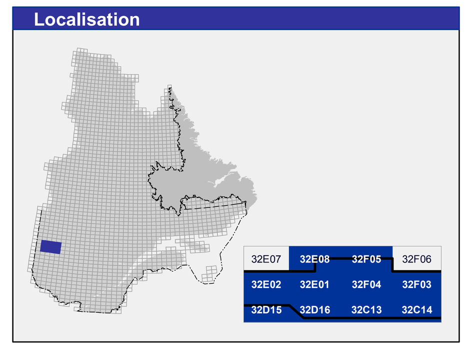

Métadonnées

Surface de référence géodésique :	Ellipsoïde GRS 80
Système de référence géodésique :	NAD 83 compatible avec le système mondial WGS 84
Projection cartographique :	Mercator transverse universelle (MTU), fuseau 18
Longitude d'origine :	78°00'
Latitude d'origine :	0°

0 2 4 6 8 Kilomètres

1/125 000

Sources

Données

Base de données topographiques et administratives (BDTA 250k)

Organisme

Ministère de l'Énergie et des Ressources naturelles

Réalisation

Compilation et modifications : Mehdi A. Guemache

Références :

Deschênes, P. L. (2011) - CG-32D16A-2011-01
Deschênes, P. L. (2011) - CG-32D16B-2011-01
Deschênes, P. L. (2011) - CG-32D16C-2011-01
Deschênes, P. L. (2011) - CG-32D16D-2011-01
Deschênes, P. L. (2011) - CG-32E01A-2011-01
Deschênes, P. L. (2011) - CG-32E01B-2011-01
Deschênes, P. L. (2012) - CG-32E02A-2012-01
Deschênes, P. L. (2012) - CG-32E02B-2012-01
Deschênes, P. L. (2012) - CG-32E02C-2012-01
Deschênes, P. L. (2012) - CG-32E02D-2012-01
Deschênes, P. L., Allard, G. (2014) - RP 2014-02
Deschênes, P. L., Allard, G., Guemache, M. A. (2015) - RP 2014-04
Hocq, M. (1981) - DP 851
Hocq, M. (1982) - DP-82-05
Hocq, M. (1983) - DP-83-25
MER. (1984) - CG 032D/16
MER. (1984) - CG 032E/01
MER. (1984) - CG 032E/02
MER. (1984) - CG 032E/08
MRNF. (2010) - CG SIGEOM32C
MRNF. (2010) - CG SIGEOM32D
MRNF. (2010) - CG SIGEOM32E
MRNF. (2010) - CG SIGEOM32F
Rhéaume, P., Maurice, C., Parent, M., McNicoll, V. (2010) - MB 2010-06

Assistance technique : Sylvie Tétreault

Production : Ministère de l'Énergie et des Ressources naturelles, Direction générale de Géologie Québec

Diffusion : Ministère de l'Énergie et des Ressources naturelles, Direction de l'information géologique du Québec

Le présent document n'a aucune portée légale
Dépôt légal - Bibliothèque et Archives nationales du Québec
© Gouvernement du Québec, 1er trimestre 2020

RG 2018-01-C01

Carte du rapport RG 2018-01
Pour obtenir les données les plus récentes concernant cette région, nous vous suggérons de consulter les produits géomatiques du Système d'information géominière du Québec (SIGÉOM)

SIGÉOM Système d'information géominière du Québec

Énergie et Ressources naturelles Québec